ОЦЕНКА ЭНЕРГИИ ЧЕЛЯБИНСКОГО БОЛИДА ПО ИНФРАЗВУКОВЫМ ИЗМЕРЕНИЯМ

*Ю.С. Рыбнов*¹, *О.П. Попова*¹, *В.А. Харламов*¹, *А.В. Соловьев*², *Ю.С. Русаков*³, *А.Г. Глухов*⁴, *Е. Silber*⁵, *Е.Д. Подобная*⁶, *Д.В. Суркова*⁶

¹ Институт динамики геосфер РАН, ² Томский государственный университет, ³ НПО «Тайфун», ⁴ ФГКУ «12 ЦНИИ» МО, ⁵ University of Western Ontario, London, Ontario, Canada, ⁶ МФТИ, Институт динамики геосфер РАН

Приведены результаты регистрации инфразвука от Челябинского болида акустическими станциями, расположенными на территории России и Казахстана. Дана оценка энергии болида и определены координаты его разрушения в атмосфере по инфразвуковым данным. Энергия болида, оцененная по двум методикам, находится в диапазоне 415±97 кТ и 445±142 кТ, а местоположение его разрушения расположено между пунктами Коркино–Еманжелинск–Первомайский.

Введение

Челябинский болид 15 февраля 2013 г. достиг максимальной яркости примерно в \approx 03:20 по UT. Метеороид пролетел приблизительно в 30–35 км южнее г. Челябинска на высоте \approx 24÷30 км [Borovička et al., 2013; Емельяненко и др., 2013], его разрушение сопровождалось яркой вспышкой, которая хорошо была видна на расстояниях в десятки и сотни километров [Емельяненко и др., 2013].

При движении и разрушении космических тел в атмосфере Земли происходят процессы быстрого освобождения большого количества энергии в ограниченном объеме, что приводит к созданию области с высоким давлением и возникновению ударной волны в атмосфере [Цикулин, 1969; Немчинов, Адушкин и др., 2005]. С расстоянием ударная волна трансформируется в инфразвуковую, которая может распространяться на сотни и даже тысячи километров. В качестве относительной меры, характеризующей интенсивность возбуждаемой волны, вводится так называемый «тротиловый эквивалент» [Губкин, 1978]. Однако необходимо отметить, что это понятие является лишь мерой освободившейся энергии, и ни в какой мере не характеризует параметры акустической волны.

В настоящей статье рассмотрена возможность оценки энергии метеороида по данным регистрации инфразвуковых сигналов на эпицентральных расстояниях более 500 км. В работах [ReVelle, 1997; Цикулин, 1969] исследована возможность применения взрывной аналогии к оценке энергии болида. Показано, что на расстояниях порядка нескольких сотен километров инфразвуковые волны от космических тел по энергетическим характеристикам находятся в хорошем согласии с волнами от химических взрывов.

Результаты натурных измерений

Для оценки энерговыделения при разрушении болида использовались материалы регистрации инфразвуковыми станциями, расположенными на территории Российской Федерации и Республики Казахстан. Данные по местоположению станций и расстояния до вероятного места разрушения болида приведены в таблице 1.

Таблица 1

Название станции	Координаты станции	Расстояние до источника, км
IS43 (г. Дубна)	N = 56,7°, E = 37,3°	≈1513
IS44 (Камчатка)	N = 51,1°, E = 158,8°	≈5780
IS46 (г. Залесово)	N = 53,9°, E = 84,8°	≈1520
IS31 (г. Актюбинск)	N = 50,4°, E = 58,0°	≈520
ГФО ИДГ РАН «Михнево» (Московская обл.)	N = 54,9°, E = 37,7°	≈1500
Здание ИДГ РАН (г. Москва)	N = 55,7°, E = 37,6°	≈1500
НПО «Тайфун» (г. Обнинск)	N = 55,1°, E = 36,6°	≈1520
ТГУ (г. Томск)	N = 56,5°, E = 84,9°	≈1500

Инфразвуковые станции Международной системы мониторинга «Comprehensive Nuclear-Test-Ban Treaty» (СТВТ) оснащены микробарометрами МВ2000 (Фран-

ция) с полосой пропускания 0–47 Γ ц. Геофизическая обсерватория (Γ ФО) ИДГ РАН «Михнево» и здание ИДГ РАН оснащены микробарометрами с полосой пропускания 0,0003–10 Γ ц. В Обнинске и Томске установлены микробарометры с полосой пропускания 0,003–10 Γ ц. Волновые формы зарегистрированных сигналов приведены на рисунках 1, 2.

Оценка энергии Челябинского болида

Для оценки энергии источника были проанализированы инфразвуковые сигналы от воздушных взрывов, проведенных на высотах $h \sim 35q^{1/3}$, где q — тротиловый эквивалент в кТ, h — высота в м [Stevens et al., 2006]. Тротиловый эквивалент взрывов находился в диапазоне от 10 до 2400 кТ. Сигналы регистрировались на эпицентральных расстояниях от 500 до 3000 км. При этом \approx 40% сигналов было зарегистрировано в восточном направлении и \approx 40% — в южном. Остальные 20% были зарегистрированы на западном и северном направлениях.

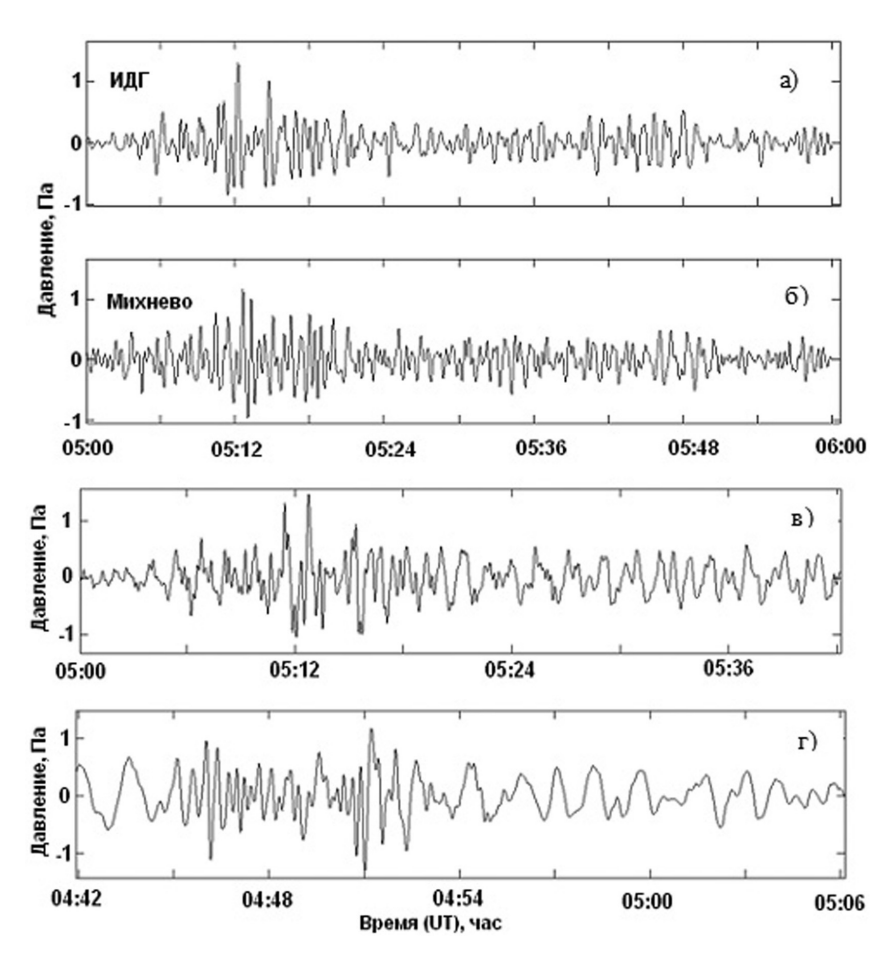


Рис. 1. Волновая форма сигналов зарегистрированных: а) в ИДГ РАН; б) ГФО «Михнево»; в) инфразвуковой станцией IS43 (Дубна, Московская обл.); г) инфразвуковой станцией IS46 (Залесово, Алтайский край)

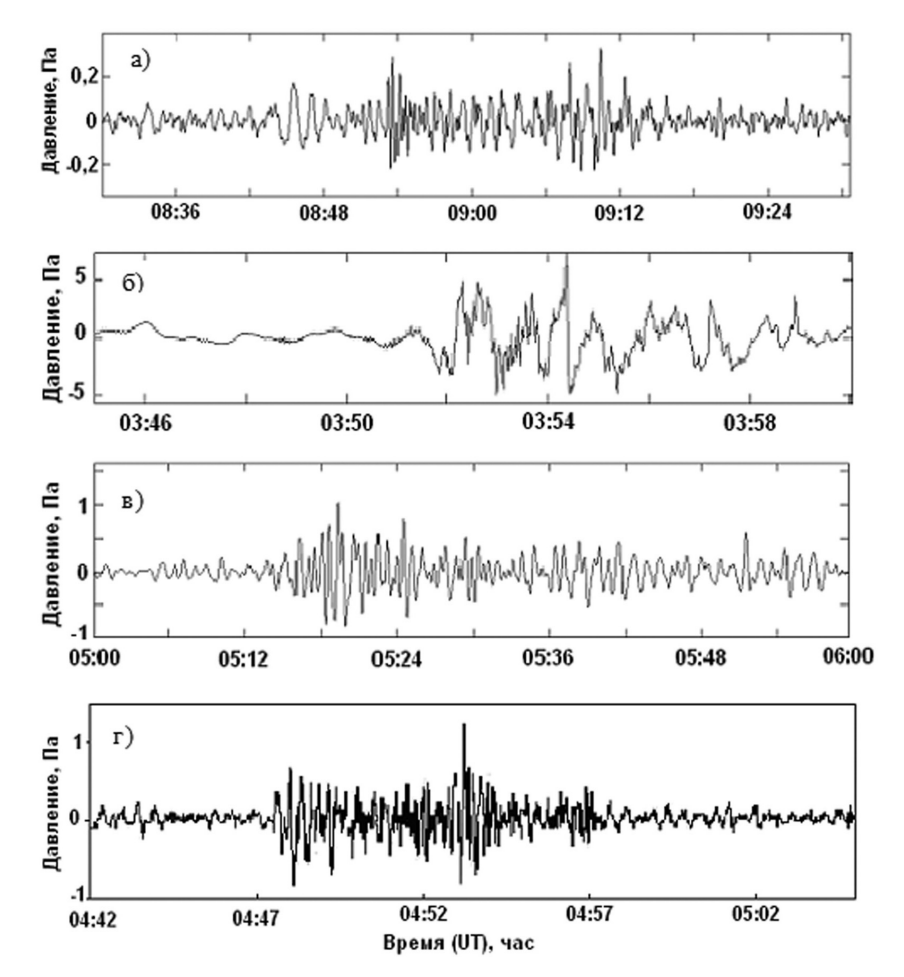


Рис. 2. Волновая форма сигнала зарегистрированного инфразвуковой станцией: а) IS44 (Камчат-ка); б) IS31 (Актюбинск, Казахстан); в) НПО «Тайфун» (Обнинск, Калужская обл.); г) в Томском государственном университете (Томск)

Оценки источника энергии для инфразвукового сигнала обычно опираются на эмпирические соотношения. Анализ сигналов, зарегистрированных на разных эпицентральных расстояниях, показал, что их амплитуда сильно зависит от:

- скорости и направления ветра на высоте стратосферы (40–60 км) и на высоте термосферы (90–120 км);
 - направления на пункт регистрации;
 - метеоусловий в месте регистрации.

Расчеты показывают, что погрешность оценки энергии взрыва может достигать 4—8 раз. Такой же вывод сделан в [Stevens et al., 2006], где анализировалась зависимость энергии источника от амплитуды инфразвуковой волны на различных эпицентральных расстояниях.

Кроме того, в работах [Revelle 1997; Edwards et al., 2006;. Edwards, 2010;. Silber et al., 2009; Ens et al., 2012] исследовались инфразвуковые сигналы болидов. Из полученных эмпирических соотношений видно, что амплитуда сигнала варьируется на порядок и более для источника известной мощности. Стало очевидно, что ам-

плитудные параметры сигналов не могут быть положены в основу метода оценки энергии взрывного источника на больших расстояниях.

Анализ спектрограмм показал, что для каждого взрыва наблюдается характерная частота $f_{\rm xap}$, превалирующая над другими. Значение $f_{\rm xap}$ в первом приближении определяется зависимостью вида [Stevens et al., 2006].

$$f_{\rm xap} \approx \frac{K_f}{2\pi^3 \sqrt{E}},\tag{1}$$

где E — тротиловый эквивалент взрывного источника в кT; K_f — коэффициент пропорциональности.

На рис. 3 приведены распределения вероятностей для коэффициентов K_f , построенные по экспериментальным данным [Stevens et al., 2006] для разных направлений распространения сигнала. Там же показаны аналитические выражения плотности вероятности. В качестве закона распределения выбран логнормальный. Для проверки эквивалентности выбранного закона распределения выборочным данным использовался критерий согласия хи-квадрат. Критерий согласия для направления востокзапад равен \approx 5,17 при уровне значимости \approx 0,023, что не противоречит гипотезе о логнормальности закона распределения. Аналогичные оценки получаются для направления юг-север. Поэтому можно принять для распространения сигналов в направлении восток-запад $K_f \approx 1,65^{+0,113}_{-0,113}$, а для направления юг-север $K_f \approx 1,21^{+0,195}_{-0,195}$.

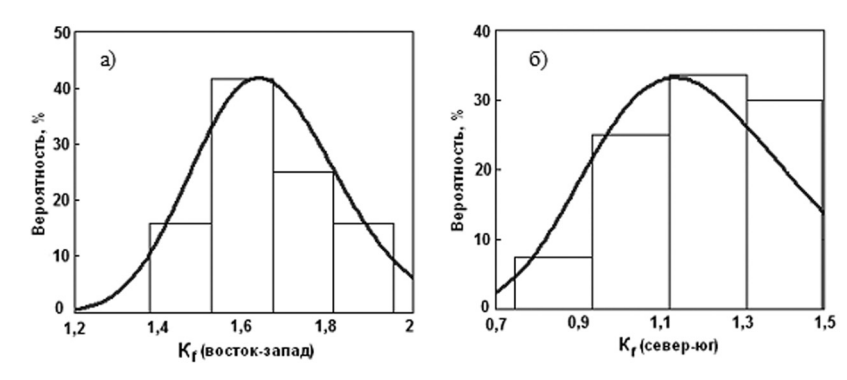


Рис. 3. Коэффициент K_f при распространении сигналов (а) в направлении восток-запад; (б) в направлении север-юг

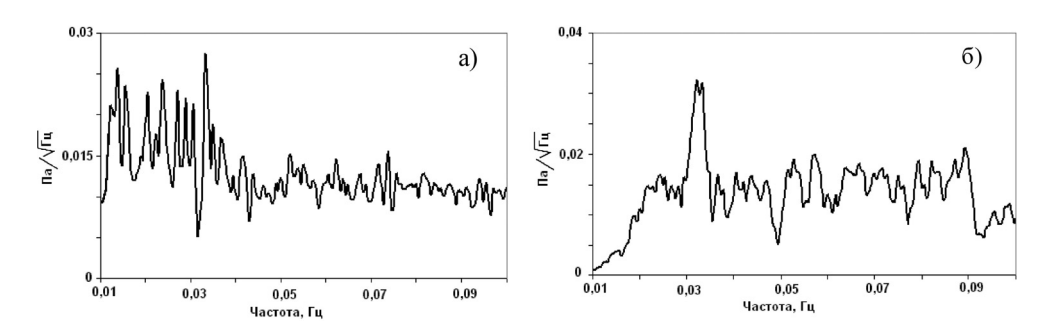


Рис. 4. Спектры сигналов зарегистрированных: а) в ИДГ РАН; б) в Обнинске

Для примера на рис. 4 приведены спектры сигналов, зарегистрированных в здании ИДГ и Обнинске. Характерные частоты инфразвуковых сигналов, зарегистри-

рованных акустическими станциями, приведены в таблице 2. Там же приведены оценки энергии источника, рассчитанные по уравнению (1).

Таблица 2

Название станции	Характерная частота, Гц	Энергия болида, кТ
IS43 (г. Дубна)	≈0,033	407÷615
IS44 (Камчатка)	≈0,036	314÷473
IS46 (г. Залесово)	≈0,035	341÷515
IS31 (г. Актюбинск)	≈0,029	173÷458
ГФО ИДГ РАН «Михнево» (Московская обл.)	≈0,0326	423÷638
Здание ИДГ РАН (г. Москва)	≈0,033	407÷615
НПО «Тайфун» (г. Обнинск)	≈0,032	447÷674
ТГУ (г. Томск)	≈0,039	247÷372

Среднее значение энергии равно 445 кТ при стандартном отклонении ± 142 кТ. Из полученных оценок видно достаточно большое (до 2,7 раз) расхождение в определении мощности источника. По-видимому, такое различие обусловлено влиянием циркуляции воздушных масс на стратосферных высотах. Известно [Хргиан, 1986], что на высоте стратосферы в зимнее время года наблюдаются западные ветры, а летом — восточные. Их скорость может достигать 50 м/с и более. Такие ветры могут оказывать влияние на спектральный состав сигналов, распространяющихся по меридиану.

Дополнительные исходные данные по регистрации инфразвуковых сигналов позволили уточнить приведенные выше зависимости с учетом эпицентральных расстояний, азимутов на источник и моделей атмосферы для разных сезонов года. Объем выборки — около 100 сигналов от источников с q от 10 кт до 10 000 кТ на расстояниях 500–5000 км [Stevens et al., 2006].

Получена функциональная зависимость вида [Ens et al.; 2012]

$$\lg q \approx a - b \cdot \lg f - c \cdot \lg R + d, \tag{2}$$

где f – частота в Γ ц, R – расстояние в км.

Значения коэффициентов a, b и c в уравнении (2) получены путем построения регрессивных зависимостей методом наименьших квадратов и равны: $a \approx 0.65$, $b \approx 2.3$, $c \approx 0.49$. Анализ показал, что основное влияние на оценку энергии источника оказывает коэффициент b, выборочное распределение которого близко к нормальному.

Влияние сезонных вариаций стратосферного ветра и азимута из источника на пункт регистрации учтены в виде добавки d к основной функциональной зависимости

$$d \approx K_1 \cdot K_2$$

где K_1 — коэффициент, учитывающий влияние сезонных вариаций скорости и направления ветра, K_2 — коэффициент, учитывающий азимут из источника на пункт регистрации. Значения K_1 и K_2 определяются из графиков на рис. 5, которые построены в результате обработки данных, приведенных в работе Stevens et al. [2006].

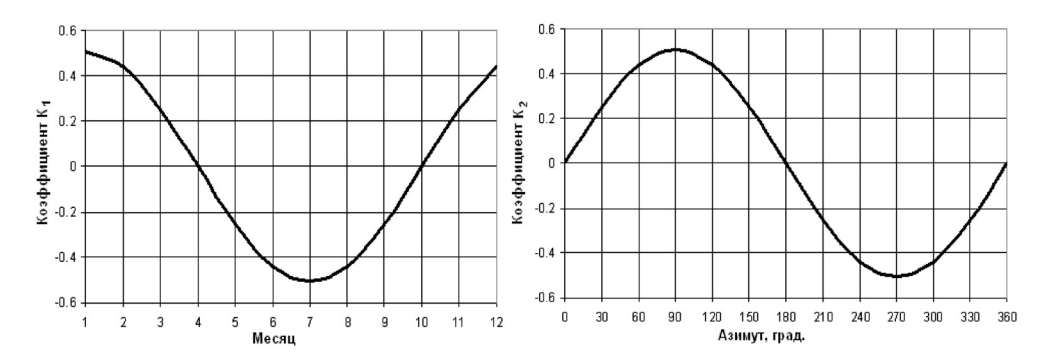


Рис. 5. Значения коэффициентов K_1 и K_2

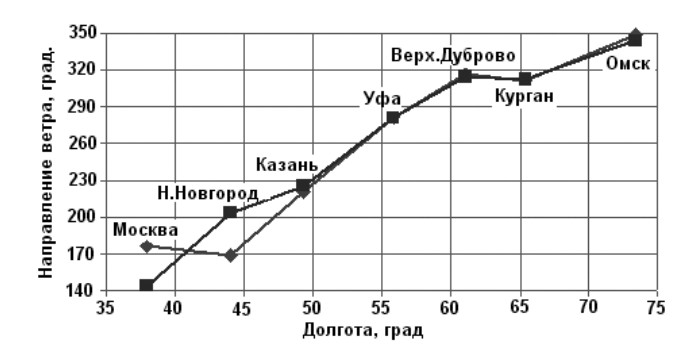


Рис. 6. Направления ветра по трассе сигнала (■ – 06 UT, ◆ – 18 UT)

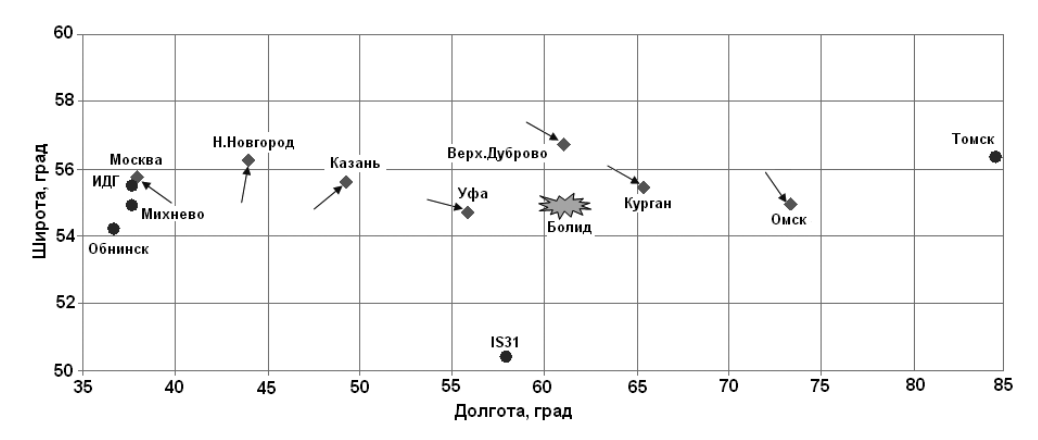


Рис. 7. Схема расположения метеостанций, пунктов регистрации и направлений ветра

Так, для февраля направление ветра принималось равным $\approx 270^{\circ}$ (западный ветер). На рис. 6 показаны направления ветра 15.02.2013 г., полученные с метеостанций, расположенных по трассе распространения сигнала, как в восточном, так и в западном направлениях.

Полная схема ветров и расположение пунктов регистрации приведены на рис. 7. Как видно из рис. 7 при распространении сигнала на запад направление ветра менялось с \approx 290 до \approx 144° (среднее значение \approx 217°). По трассе распространения на

Томск направление ветра менялось с \approx 311 до \approx 349° (среднее значение \approx 321°), по трассе распространения на Камчатку и Залесово – менялось с \approx 220 до \approx 300° (среднее значение \approx 260°). С учетом этого были скорректированы коэффициенты K_1 , K_2 для оценки энергии болида.

Влияние скорости ветра оценивалось по данным метеостанций, приведенным на рис. 8. Расчеты показывают, что средняя скорость ветра равна ≈ 23.3 м/с.

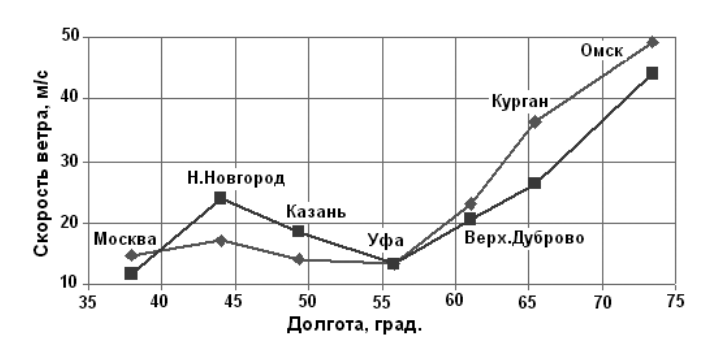


Рис. 8. Скорость ветра по трассе распространения сигнала ($\blacksquare - 06 \text{ UT}$, $\spadesuit - 18 \text{ UT}$)

Для контроля оценивалась скорость ветра по данным натурных измерений. Были взяты пункты ИДГ РАН и ТГУ. Оба пункта регистрации расположены практически в диаметрально противоположных направлениях и на одинаковых расстояниях от источника. Так, время разрушения болида равно \approx 03:20÷03:21 по UT. Время прихода сигнала в ИДГ РАН равно \approx 05:05 UT, а в Томск \approx 04:47 UT. Расстояния от источника до указанных пунктов регистрации равны \approx 1500 км. Соответственно, скорость распространения в западном направлении (в сторону ИДГ РАН) была равна \approx 240 м/с, а восточном – \approx 287 м/с. Расчеты показывают, что средняя скорость западного ветра была равна \approx 23,5 м/с. Это хорошо совпадает с данными метеостанций.

При расчете коэффициентов K_1 и K_2 для данного месяца года закладывалась средняя скорость ветра равная ≈ 25 м/с. Данное обстоятельство говорит в пользу того, что оценки энергии, полученные с учетом реальной стратификации ветра (направление и скорость) по трассе распространения, являются достаточно надежными.

В таблице 3 приведены оценки энергии источника по данным измерений частоты в разных пунктах регистрации. Среднее значение энергии равно 415 кТ при стандартном отклонении ± 97 кТ.

Таблица 3

Название станции	Энергия болида, кТ
IS43 (г. Дубна)	442
IS44 (Камчатка)	221
IS46 (г. Залесово)	462
IS31 (г. Актюбинск)	534
ГФО ИДГ РАН «Михнево» (Московская обл.)	457
Здание ИДГ РАН (г. Москва)	445
НПО «Тайфун» (г. Обнинск)	474
ТГУ (г. Томск)	328

Оценка местоположения источника

Для определения местоположения источника использовались данные регистрации с двух групп станций. Первая группа состоит из трех станций: ИДГ РАН — ГФО «Михнево» — НПО «Тайфун», которые образуют систему регистрации с базами 76—84—90 км. В качестве второй группы использовалась станция IS31, входящая в состав международной системы мониторинга СТВТ. Базы регистрации станции между 3-мя датчиками не превышают 3 км. Совместная обработка данных от разнесенных и синхронизированных станций позволила оценить направление на источник, его координаты и кажущуюся скорость сигнала.

Расчет пеленгов на источник сигналов проводился с применением алгоритма РМСС (прогрессивной множественной кросс-корреляции), используемой в международной системе мониторинга СТВТ [Cansi, 1995; Рыбнов и др., 2005]. На рис. 9 приведен график кросс-корреляции сигналов в ИДГ РАН — ГФО «Михнево» — НПО «Тайфун» (г. Обнинск). По рассчитанным временам задержки прихода сигнала был оценен пеленг на источник равный $84\pm0.5^\circ$. Средняя на траектории скорость при этом была равна $230 \text{ м/c} \pm 12 \text{ м/c}$. Для станции IS31 пеленг на источник равен $28\pm0.5^\circ$, а скорость распространения $338 \text{ м/c} \pm 13 \text{ м/c}$.

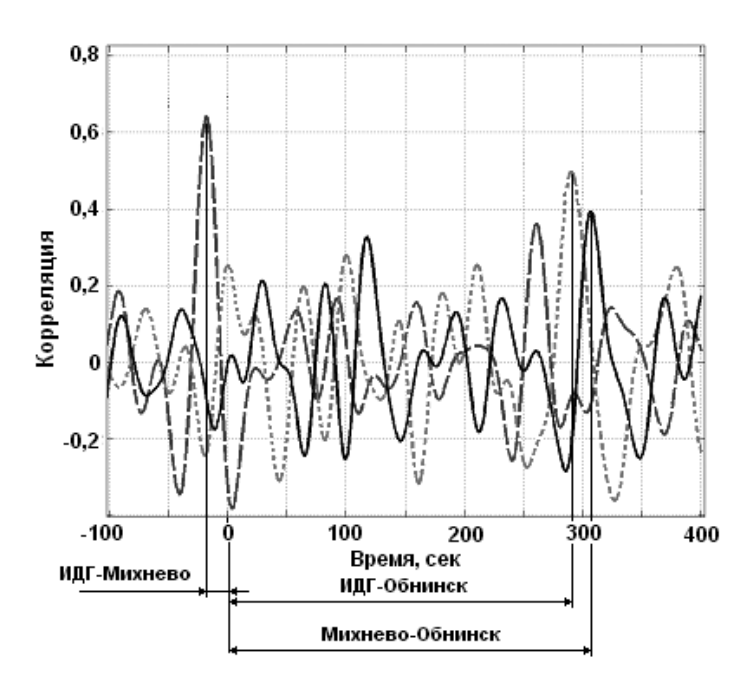


Рис. 9. График временных задержек прихода сигнала: ИДГ-Михнево – пунктир; ИДГ-Обнинск – точечная кривая; Михнево-Обнинск – сплошная кривая

Пересечение пеленгов (см. рис. 10) позволило оценить область максимального энерговыделения при разрушении болида. Размер области не превышает 9×18 км, а её центр хорошо совпадает с траекторией пролета болида.

При расчете пеленгов в алгоритме PMCC сделано допущение – скорость ветра принималась равной нулю. Наличие бокового ветра вносит погрешность в определение пеленга, так как вызывает смещение траектории пропорциональное средней

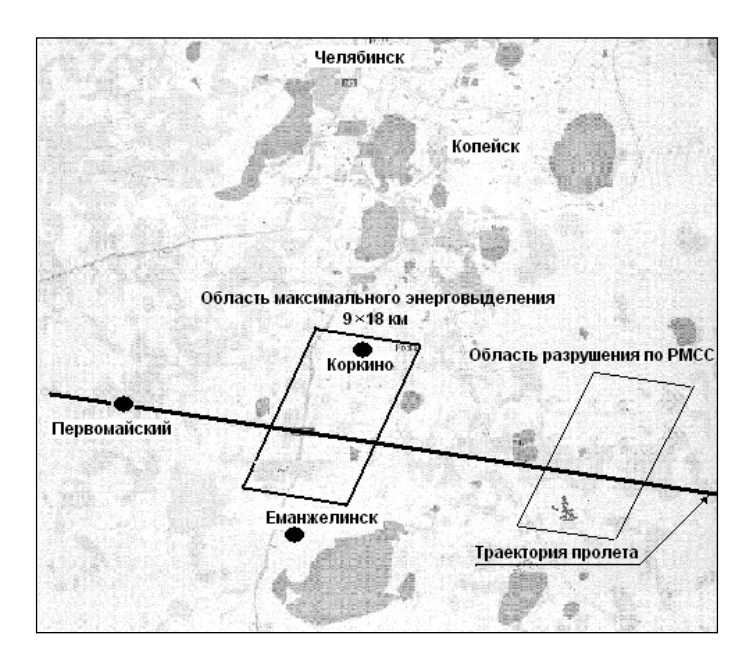


Рис. 10. Траектория пролета болида и местоположение его разрушения

скорости ветра по трассе, времени распространения сигнала и углу между направлением ветра и трассой распространения

$$\phi = \alpha_{\rm pac^{_{4}}} \pm \beta,$$
 где $\alpha_{\rm pac^{_{4}}}$ – пеленг, рассчитанный по PMCC, $\beta = \arctan \left(\frac{V_{\rm BeTp} \cdot \sin \gamma \cdot \Delta t}{L}\right)$ – угол смещения траектории, $V_{\rm BeTp}$ – средняя скорость ветра по трассе, γ – угол между направлением ветра и пеленгом на источник, Δt – время распространения сигнала по трассе, L – расстояние от пункта регистрации до источника. Если ветер западный, то $\langle - \rangle$, для восточного $\langle + \rangle$.

Расчеты показывают, что основную погрешность вносит ветер, перпендикулярный трассе распространения IS31-источник. Тогда угол смещения траектории $\beta \approx 4^{\circ}$, а область местоположения источника сместится западнее на ≈ 36 км (см. рис. 10).

Полученная оценка местоположения разрушения болида хорошо совпадает с данными по его пролету и разрушению, приведенными в [Borovička et al., 2013], где оценка траектории была проведена на основе анализа целого ряда видеозаписей пролета болида, полученных с разных точек. Вычисление траектории по базисным наблюдениям традиционно используется при определении траекторий и орбит болидов.

Заключение

Челябинское событие – первый крупный космический объект, чей вход в атмосферу детально задокументирован. В статье по данным регистрации инфразвуковых сигналов на расстояниях, превышающих 500 км, определено местоположение области основного энерговыделения при пролете и фрагментации Челябинского метеороида между пунктами Коркино-Еманжелинск-Первомайский, которое хорошо согласуется как с данными, полученными при анализе видеозаписей [Borovička et al., 2013; Емельяненко и др., 2013], так и спутниковых снимков [Miller et al., 2013].

По результатам натурных наблюдений 7-ми инфразвуковыми станциями оценена энергия Челябинского болида с использованием двух методик, в основу которых заложен частотный принцип. Соответствующая энергия метеороида составляет 445±142 кТ и 415±97 кТ, что также неплохо согласуется и с другими оценками энергии 380 кТ ÷ 517 кТ [Емельяненко и др., 2013; Попова и др., 2013] и позволяет утверждать, что инфразвуковые измерения можно использовать для оценки энергии метеороидов с достаточной для практических целей точностью. Учет влияния высоты источника на оценку его энергии требует дальнейших исследований. Можно ожидать увеличение оценки энерговыделения в зависимости от высоты в 1,1–1,7 раза.

Литература

Губкин К.Е. О подобии взрыва // ФАО АН СССР, № 10, 1978. с. 49–60.

Емельяненко В.В., Попова О.П., Чугай Н.Н. и др. Астрономические и физические эффекты Челябинского события 15 февраля 2013 г. // Астрономический вестник. 2013. Т. 47. № 4. С. 262–277.

Немчинов И.В., Адушкин В.В. и др. Катастрофические воздействия космических тел / М.: ИЦК «Академкнига», 2005. с. 310.

Попова О.П., Шувалов В.В., Рыбнов Ю.С. и др. Параметры Челябинского метеороида: анализ данных / Сб. научных трудов ИДГ РАН, 2013 (статья в этом же сборнике).

Рыбнов Ю.С., Харламов В.А., Евменов В.Ф. Инфразвуковая система регистрации акустико-гравитационных волн // Динамические процессы в системе внутренних и внешних взаимодействующих геосфер: Сб. научных трудов ИДГ РАН. М.: ГЕОС. $2005. \ c. \ 29–33.$

Хргиан А.Х. Физика атмосферы // М.: Изд-во МГУ, 1986. с. 328.

Цикулин М.А. Ударные волны при движении в атмосфере крупных метеоритных тел // М.: Наука, 1969. 86 с.

Borovička J., Spurny P., Shrbeny L., Trajectory and orbit of the Chelyabinsk superbolide CBET 3423, D.W.E. Green, ed., Central Bureau for Astronomical Telegrams, International Astronomical Union, p. 1–1, 2013.

Cansi Y. An automatic An automatic seismic event processing for detection and location: The P.M.C.C. method // Geophys. Res. Lett. 1995. V. 22. P. 1021–1024.

Edwards, W.N., Brown, P.G., ReVelle, D.O. Estimates of meteoroid kinetic energies from observations of infrasonic airwaves // Journal of Atmospheric and Solar-Terrestrial Physics. 2006. V. 68. P. 1136–1160.

Edwards, W.N. Meteor generated infrasound: theory and observation // In: Le Pichon A., Blanc E., Hauchecorne A. (Eds.), Infrasound Monitoring for Atmospheric Studies. 2010. Springer, Dordrecht, Netherlands, pp. 361–414.

Ens T.A., Brown P.G., Edwards W.N., Silber E.A. Infrasound production by bolides: A global statistical study // Journal of Atmospheric and Solar-Terrestrial Physics. 2012. V. 80. P. 208–229.

Miller S.D., Straka W.C., Bachmeier A.S., Schmit T.J., Partain P.T., Noh Y.-J. Earth-viewing Satellite Perspectives on the Chelyabinsk Meteor Event // Submitted to PNAS, April 2013.

ReVelle D.O. Historical detection of atmospheric impacts by large bolides using acoustic-gravity waves // In: Remo JL (ed.) Annals of the New York academy of sciences, near-earth objects – the United Nations international conference. New York Academy of Sciences. 1997. V. 822. P. 284–302.

Silber E., ReVelle D.O., Brown P., Edwards W. An estimate of the terrestrial influx of large meteoroids from infrasonic measurements // JGR. 2009. V. 114, E08006.

Stevens, J.L., Adams, D.A., Baker, G.E., Xu, H., Murphy, J.R., Divnov, I., Bourchik, V.N. Infrasound Modeling Using Soviet Explosion Data and Instrument Design Criteria from Experiments and Simulations // Technical Report ADA446517S. 2006.